

# Extension trigo : documentation partielles

Projet GL groupe 13

Janvier 2020

## 1 Introduction

Dans ce compte rendu nous faisons état de l'évolution du contenu de notre extension Trigo. A ce titre, nous présentons différentes façons de coder les approximations des fonctions trigonométriques classiques, en nous appuyant sur un nombre aussi diverse que possible de techniques nous permettant d'approcher de la manière la plus efficace chacune des fonctions.

## 2 Fonction sinus

### 2.1 Polynômes de Chebyshev

Dans un espace de Sobolev (un espace de Sobolev est un espace vectoriel de fonctions muni de la norme obtenue par la combinaison de la norme  $L_p$  de la fonction elle-même et de ses dérivées jusqu'à un certain ordre), l'ensemble des polynômes de Chebyshev forme une base orthonormale, permettant l'expression d'une fonction continue sur  $[-1,1]$  via l'expression :

$$f(x) = \sum_{n=0}^{\infty} a_n T_n(x)$$

On peut souligner qu'en cas de discontinuité, la série va converger vers la moyenne de la limite droite et gauche.

### 2.2 Proposition d'approximation de la fonction sinus

Nous proposons de projeter la fonction sinus dans la base de Chebyshev à la différence que nous la divisons par un polynôme de degré impair valant 0 en 0 et  $\pi$  et 1 en  $\pi/2$  dans le but de réduire l'erreur dynamique.

Nous utilisons le polynôme :  $\frac{8x}{3\pi} + \frac{8x^3}{3\pi^3}$

En outre, la spécificité des polynômes de Chebyshev réside dans l'égalité :

$$\int_{-1}^1 T_n(x) T_m(x) \frac{dx}{\sqrt{1-x^2}} = \begin{cases} 0 & n \neq m \\ \pi & n = m = 0 \\ \frac{\pi}{2} & n = m \neq 0 \end{cases}$$

qui peut être démontrée en posant  $x = \cos\theta$  et en utilisant  $T_n(\cos\theta) = \cos n\theta$ .

En exprimant notre fonction dans la base de Chebyshev on obtient donc :

$$\int_{-1}^{+1} \frac{T_m(x) f(x)}{\sqrt{1-x^2}} dx = \sum_{n=0}^{\infty} a_n \int_{-1}^{+1} \frac{T_m(x) T_n(x)}{\sqrt{1-x^2}} dx,$$

Or cette somme étant nulle pour tout  $n$  différent de  $m$ , nous obtenons nos coefficients  $a_n$

Ensuite afin d'étudier la fonction sur l'intervalle  $[-1,1]$  nous nous intéressons à  $\sin(x\pi)$ .

Il nous est simplement nécessaire de calculer les coefficients pairs car cette dernière fonction est paire. Nous décidons de faire les calculs de ces coefficients en Python qui permet de mener plus aisément une étude statistique. En utilisant la fonction `integrate.quad` qui utilise la librairie Fortran library QUADPACK. Nous obtenons notre premier jeu de coefficients, qui nous permettent de reconstruire l'approximation de sinus en la corrigeant du polynôme de construction et en annulant le changement de paramètre.

A noter, que nous devons stocker en dur les derniers coefficients dans la fonction `approximationsin()` car Python est incapable de simplifier le résultat obtenu en `transformation2()`. Nous devons donc effectuer ces calculs manuellement.

```
#!/usr/bin/env python3
```

```
from scipy import integrate
from math import sin, pi, sqrt
from sympy import symbols
```

```
def transformation1():
    return [(integrate.quad(lambda x : (sin(pi*x)/(8/(3*pi)*pi*x-8/(3*pi**3)*(pi*x)**3))\
/(sqrt(1-x**2)), -1, 0)[0]+integrate.quad(lambda x : (sin(pi*x)/(8/(3*pi)*pi*x\
-8/(3*pi**3)*(pi*x)**3))/(sqrt(1-x**2)), 0, 1)[0])/pi, (integrate.quad(lambda x :\
(sin(pi*x)/(8/(3*pi)*pi*x-8/(3*pi**3)*(pi*x)**3))*(2*x**2-1)/(sqrt(1-x**2)), -1, 0)\
[0]+integrate.quad(lambda x : (sin(pi*x)/(8/(3*pi)*pi*x-8/(3*pi**3)*(pi*x)**\
3))*(2*x**2-1)/(sqrt(1-x**2)), 0, 1)[0])*2/pi, (integrate.quad(lambda x :\
(sin(pi*x)/(8/(3*pi)*pi*x-8/(3*pi**3)*(pi*x)**3))*(8*x**4-8*x**2+1)/(sqrt(1-x**2)\
), -1, 0)[0]+integrate.quad(lambda x : (sin(pi*x)/(8/(3*pi)*pi*x-8/(3*pi**3)*\
(pi*x)**3))*(8*x**4-8*x**2+1)/(sqrt(1-x**2)), 0, 1)[0])*2/pi, (integrate.quad\
(lambda x : (sin(pi*x)/(8/(3*pi)*pi*x-8/(3*pi**3)*(pi*x)**3))*(32*x**6-48*\
x**4+18*x**2-1)/(sqrt(1-x**2)), -1, 0)[0]+integrate.quad(lambda x :\
(sin(pi*x)/(8/(3*pi)*pi*x-8/(3*pi**3)*(pi*x)**3))*(32*x**6-48*x**4+18*x**2-1)/\
(sqrt(1-x**2)), -0, 1)[0])*2/pi, (integrate.quad(lambda x :\
(sin(pi*x)/(8/(3*pi)*pi*x-8/(3*pi**3)*(pi*x)**3))*(128*x**8-256*x**6+160*x**4-32*\
x**2+1)/(sqrt(1-x**2)), -1, 0)[0]+integrate.quad(lambda x :\
(sin(pi*x)/(8/(3*pi)*pi*x-8/(3*pi**3)*(pi*x)**3))*(128*x**8-256*x**6+160*x**4-32*\
x**2+1)/(sqrt(1-x**2)), 0, 1)[0])*2/pi, (integrate.quad(lambda x :\
(sin(pi*x)/(8/(3*pi)*pi*x-8/(3*pi**3)*(pi*x)**3))*(512*x**10-1280*x**8+1120*x**6\
-400*x**4+50*x**2-1)/(sqrt(1-x**2)), -1, 0)[0]+integrate.quad(lambda x :\
(sin(pi*x)/(8/(3*pi)*pi*x-8/(3*pi**3)*(pi*x)**3))*(512*x**10-1280*x**8+1120*x**6\
-400*x**4+50*x**2-1)/(sqrt(1-x**2)), 0, 1)[0])*2/pi]

def transformation2():
    x = symbols("x")
    poly_3 = 0
    T = transformation1()
    Cheby_2 = [1, 2*(x/pi)**2-1, 8*(x/pi)**4-8*(x/pi)**2+1, 32*(x/pi)**6-48*(x/pi)**4+18*(x/pi)**2-1\
, 128*(x/pi)**8-256*(x/pi)**6+160*(x/pi)**4-32*(x/pi)**2+1, 512*(x/pi)**10-1280\
*(x/pi)**8+1120*(x/pi)**6-400*(x/pi)**4+50*(x/pi)**2-1]
    for i in range(len(T)):
        poly_3 += T[i]*Cheby_2[i]
    poly_4 = (poly_3)*((8/(3*pi))*x-(8/(3*pi**3))*x**3)
    return poly_4

def approximation_sin():
    coeff = [0.99999999708279, 0, -0.1666666450029, 0, 0.008333330578942, 0, -0.000198399079322, 0,\
```

```

2.75242860644e-6,0,2.46295041543e-8,0,1.32910789005e-10]
x = symbols("x")
poly = 0
for i in range(len(coeff)):
    poly += coeff[i] * x**(i+1)
return poly

def mon_sin(x):
    return 0.9999999970827936*x - 0.1666666450030143*x**3 + 0.008333305789420957\
*x**5 - 0.00019839907932225052*x**7 + 2.7524286064437253e-06*x**9\
-2.4629504154364525e-08*x**11 + 1.3291078900480108e-10*x**13

```

## 2.3 Etude de l'approximation proposée

Dans un premier temps nous nous proposons d'étudier l'écart relatif entre la fonction sinus implementée en Python et notre fonction sinus.

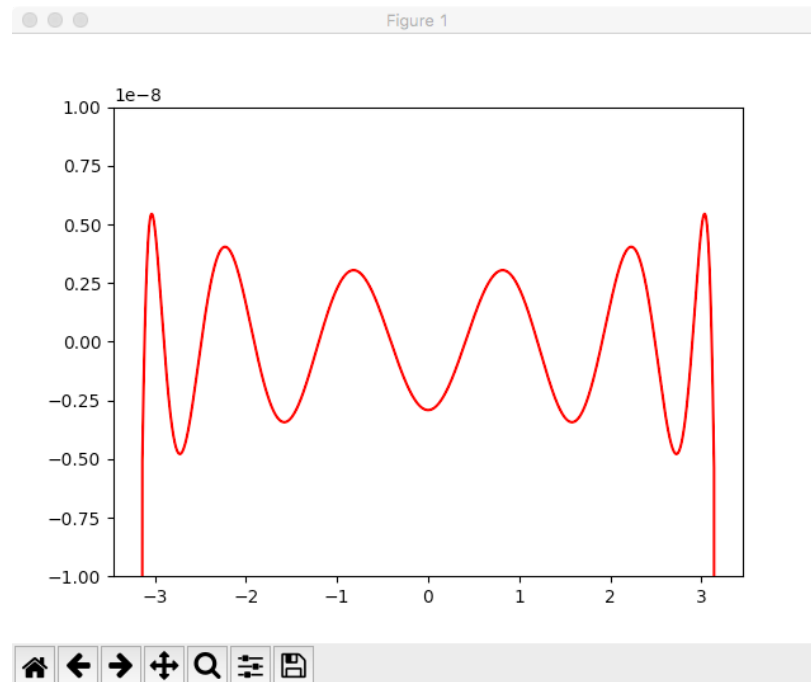


Figure 1: Ecart relatif sinus

On peut constater que l'écart relatif est très faible de l'ordre de  $10^{-9}$  et est également distribué au contraire par exemple des séries de Taylor qui auraient une forte convergence au centre de l'intervalle et assez peu à ses extrémités.

On propose une petite étude statistique sur  $[-\pi/2, \pi/2]$  afin d'exclure le cas  $\pi$ ,  $-\pi$ .

nanmax	3.429128536680537e-09
nanmin	2.0935054242642857e-12
nanmean	1.9636880530194773e-09
nanstd	9.60473880179682e-10
nanvar	9.225100745074141e-19

Figure 2: Résumé statistique

L'étude se fait en excluant les valeurs NaN (dont la présence témoigne de la bone précision de notre fonction)

## 2.4 Polynôme de Chebyshev généré par Python

Sous Python la librairie `polynomial.chebyshev` nous fournit de nombreuses fonctions pour les polynomes de Chebychev, particulier la génération de polynômes interpolateurs est possible.

On propose le code suivant permettant de générer le polynôme fournit dans `sinuspython()`

```

from sympy import symbols
from numpy import polynomial, linspace
from scipy import integrate
from math import pi, sin, sqrt
from matplotlib.pyplot import plot, show, xlim, ylim
from numpy import *

def generate_cheby(n):
    a = n*[0] + [1]
    a = tuple(a)
    cheb = polynomial.chebyshev.Chebyshev(a)
    return polynomial.chebyshev.cheb2poly(cheb.coef)

def petit_test():
    t = linspace(-1,1,50000)
    x = []
    y = []
    for element in t:
        x.append(element)
        y.append(sin(element))
    return [x,y]

def petit_test_bis():
    t = linspace(-1,1,500000)
    y = []
    for element in t:
        y.append((element,sin(element)))
    return y

def mes_coeff(n):
    a = petit_test()[0]
    b = petit_test()[1]
    c = polynomial.chebyshev.chebfit(a,b,n)
    x = symbols("x")
    poly = 0

```

```

for i in range(len(c)):
    poly += c[i]*x**i
return poly

def sinus_python(x):
    return -3.58213419314512e-17*x**20 - 5.46480092854093e-16*x**19 - 6.81357935938433e-17*x**18\
    + 7.82721547525297e-16*x**17 + 1.14858834605504e-18*x**16 - 4.32032006851426e-16*x**15\
    - 2.82633355728693e-17*x**14 + 3.86817236486626e-14*x**13 - 5.90144809864658e-17*x**12\
    - 2.39599086232328e-11*x**11 + 5.60358625808325e-18*x**10 + 1.04984997866119e-8*x**9\
    + 8.25365299180447e-17*x**8 - 3.0046516351682e-6*x**7 - 1.85066213627955e-16*x**6\
    + 0.000499515460422143*x**5 - 8.36041907228742e-18*x**4 - 0.0391267079653373*x**3\
    + 2.49030122069121e-17*x**2 + 0.880101171489867*x - 7.55096564599683e-17

```

A l'oeil nu le coefficient devant  $x$  semble suspect en effet ce dernier est éloigné de 1. Et une visualisation sur un graphe de la fonction `sinuspython()` et `sinus` le confirme. De même l'écart entre les deux fonction confirme l'intuition.

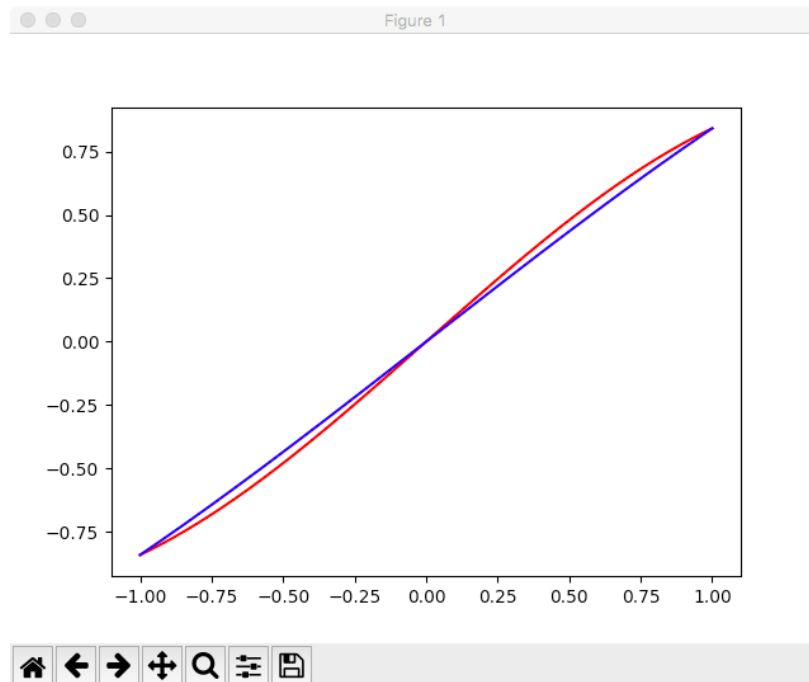


Figure 3: Le vrai sinus et le sinus généré par Python

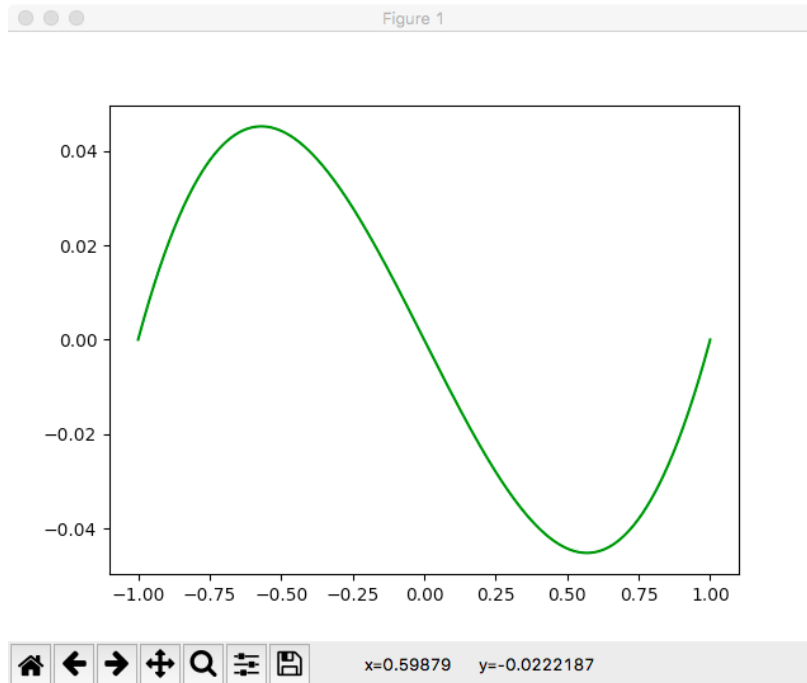


Figure 4: Ecart entre le vrai sinus et le sinus généré par Python

### 3 Fonction cosinus

#### 3.1 Fonction de Bessel

Les fonctions de Bessel du premier ordre sont solutions de l'équation différentielle de Bessel. Avec  $\Gamma$  la fonction gamma d'Euler.

$$J_{\alpha}(x) = \sum_{m=0}^{\infty} \frac{(-1)^m}{m! \Gamma(m + \alpha + 1)} \left(\frac{x}{2}\right)^{2m+\alpha}$$

En constatant que :

$$e^{\left(\frac{x}{2}\right)\left(t - \frac{1}{t}\right)} = \sum_{n=-\infty}^{\infty} J_n(x) t^n$$

et que :

$$\cos(x \sin \phi) + i \sin(x \sin \phi) = e^{ix \sin \phi}$$

puis en posant  $\phi = \pi/2$  On peut démontrer que :

$$\cos(x) = J_0(x) + 2 \sum_{n=1}^{\infty} (-1)^n J_{2n}(x)$$

#### 3.2 Proposition d'approximation de la fonction cosinus

En utilisant le résultat précédent on propose une approximation de la fonction cosinus.

```
from math import factorial, gamma
from sympy import symbols
```

```

def J(n):
    x = symbols("x")
    tab = [(-1)**j*(x/2)**(2*j+n)/(factorial(j)*gamma(j+1+n)) for j in range(20)]
    return sum(tab)

def mon_poly_gamma():
    x = symbols("x")
    base = [2*(-1)**n*J(2*n) for n in range(1,20)]
    return J(0) + sum(base)

def mon_cos_gamma(x):
    return 5.36923126214664e-117*x**76 - 9.18138545827075e-113*x**74 + \
    1.19476512039168e-108*x**72 - 1.37236145747945e-104*x**70 + \
    1.43887270901671e-100*x**68 - 1.38769242112892e-96*x**66 + \
    1.23127942085417e-92*x**64 - 1.00279166468403e-88*x**62 + \
    7.47199933967046e-85*x**60 - 5.07455387910634e-81*x**58 + \
    3.12818379283804e-77*x**56 - 1.74245784661659e-73*x**54 + \
    8.72747376097333e-70*x**52 - 3.91004418776769e-66*x**50 + \
    1.55803098471521e-62*x**48 - 5.48821278213621e-59*x**46 + \
    1.69802377065023e-55*x**44 - 4.58338898467404e-52*x**42 + \
    1.07196093802408e-48*x**40 - 1.91196320504028e-45*x**38 + \
    2.68822026628664e-42*x**36 - 3.38715753552116e-39*x**34 + \
    3.80039075485474e-36*x**32 - 3.76998762881591e-33*x**30 + \
    3.27988923706984e-30*x**28 - 2.4795962632248e-27*x**26 + \
    1.61173757109612e-24*x**24 - 8.89679139245057e-22*x**22 + \
    4.11031762331216e-19*x**20 - 1.56192069685862e-16*x**18 + \
    4.77947733238739e-14*x**16 - 1.14707455977297e-11*x**14 + \
    2.08767569878681e-9*x**12 - 2.75573192239859e-7*x**10 + \
    2.48015873015873e-5*x**8 - 0.00138888888888889*x**6 + \
    0.0416666666666667*x**4 - 0.5*x**2 + 1.0

```

### 3.3 Etude de l'approximation proposée

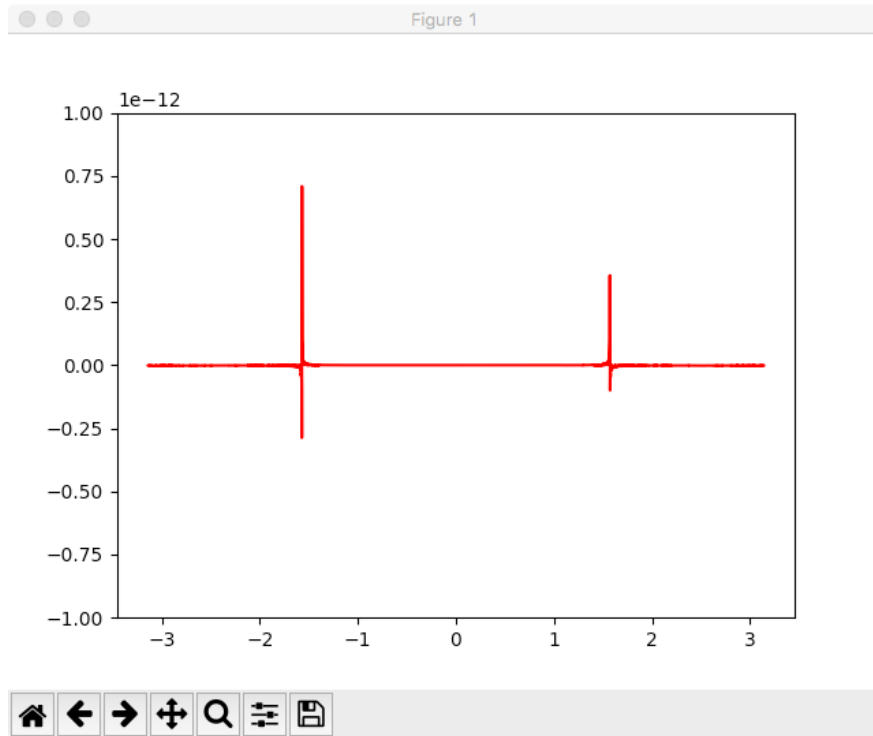


Figure 5: Ecart relatif cosinus

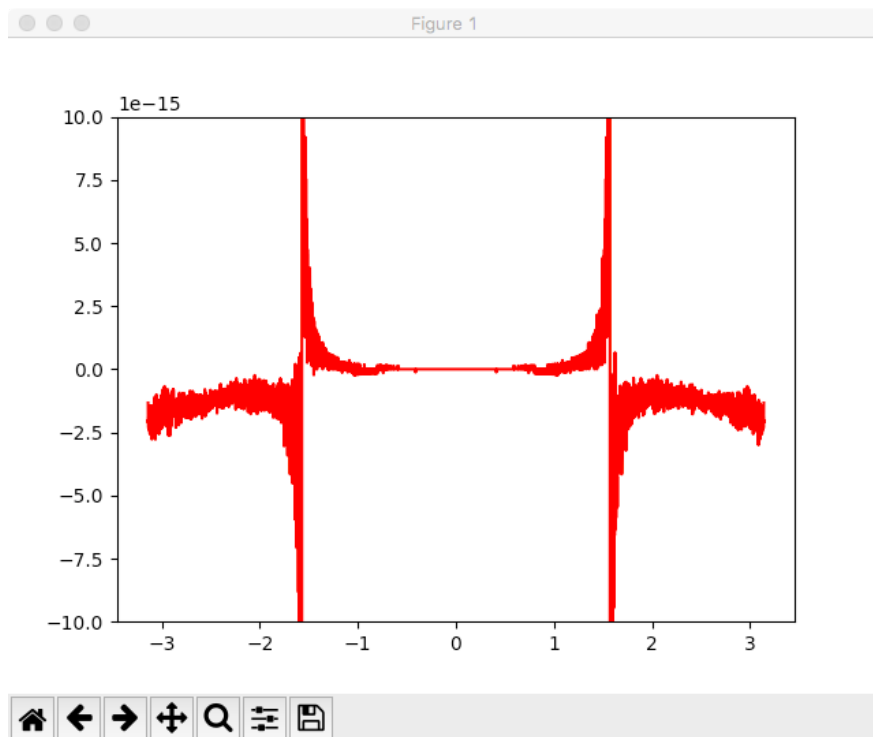


Figure 6: Ecart relatif cosinus



nanmax	1.5642066678596621e-16
nanmin	0.0
nanmean	4.525590718527718e-18
nanstd	2.4365221861678385e-17
nanvar	5.9366403636881025e-34

Figure 7: Résumé statistique dans  $-\pi/4$   $\pi/4$

### 3.4 Retour sur la fonction sinus

En utilisant la même approche on peut écrire

$$\sin(x) = 2 \sum_{n=-\infty}^{\infty} (-1)^n J_{2n+1}(x)$$

Ce qui en terme d'erreur relative donne ceci :

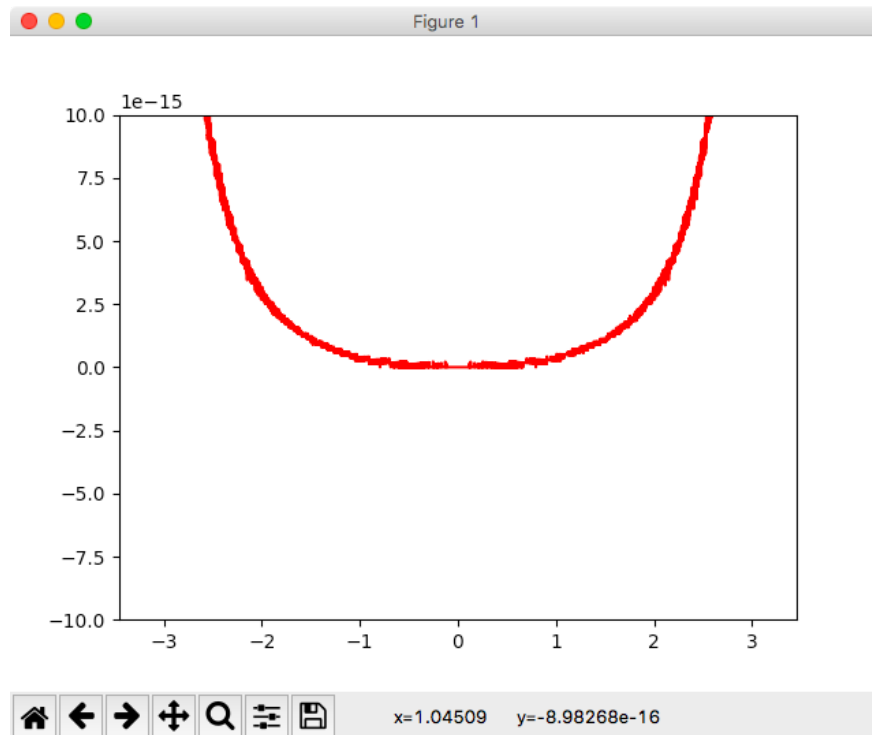


Figure 8: Ecart relatif sinus

nanmax	1.3330069751401115e-15
nanmin	0.0
nanmean	3.4822372474655263e-16
nanstd	3.65253104190366e-16
nanvar	1.3340983012069837e-31

Compte tenu de ces résultats on peut opter pour cette implémentation du sinus.

### 3.5 Les séries de Taylor

Une première approche pour approximer ces fonctions peut être également d'utiliser les séries de Taylor.

Ce qui en terme d'erreur relative donne ceci :

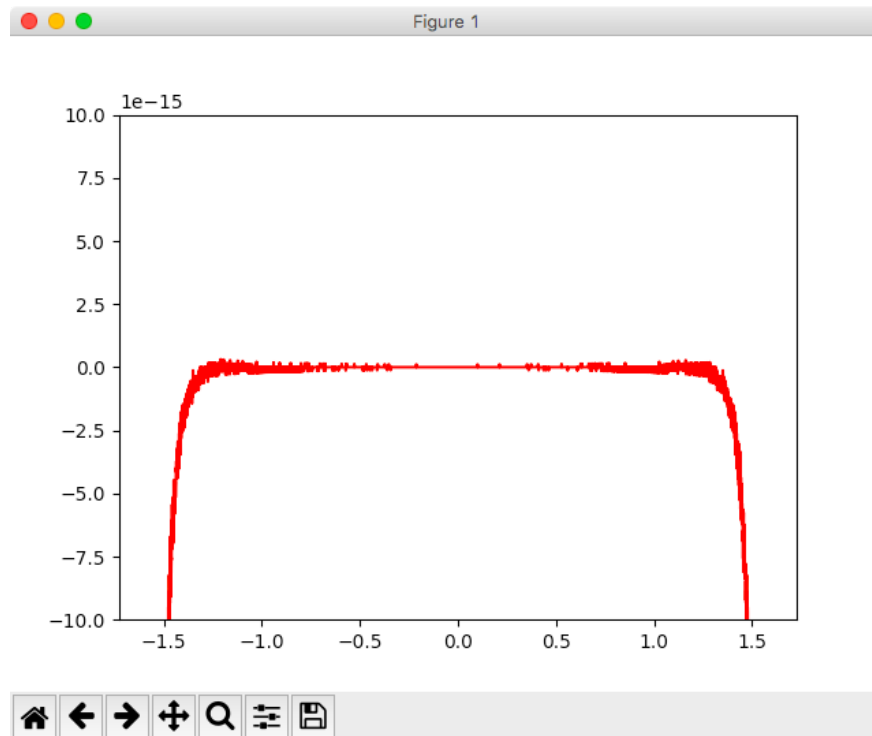


Figure 9: Ecart relatif cosinus Taylor

On constate bien que l'utilisation des séries de Taylor est utile au centre de l'intervalle, mais diverge fortement lorsqu'on s'éloigne de  $\pi/2$ .

## 4 Fonction tan

En utilisant nos fonctions cos et sin on peut construire la fonction tangente.

### 4.1 Etude de l'approximation proposée avec la fonction sinus Chebyshev

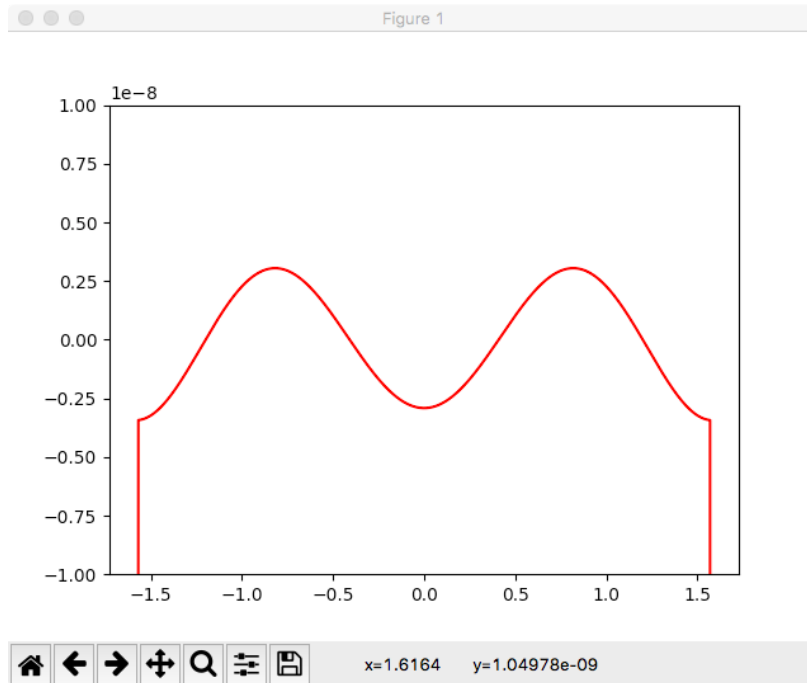


Figure 10: Ecart relatif tan

nanmax	3.0211814161518195e-09
nanmin	2.128209052886472e-13
nanmean	1.8464321329965337e-09
nanstd	9.069088335169482e-10
nanvar	8.224836323110717e-19

Figure 11: Résumé statistique sur  $-\pi/4$  à  $\pi/4$

## 4.2 Etude de l'approximation proposée avec la fonction sinus Bessel

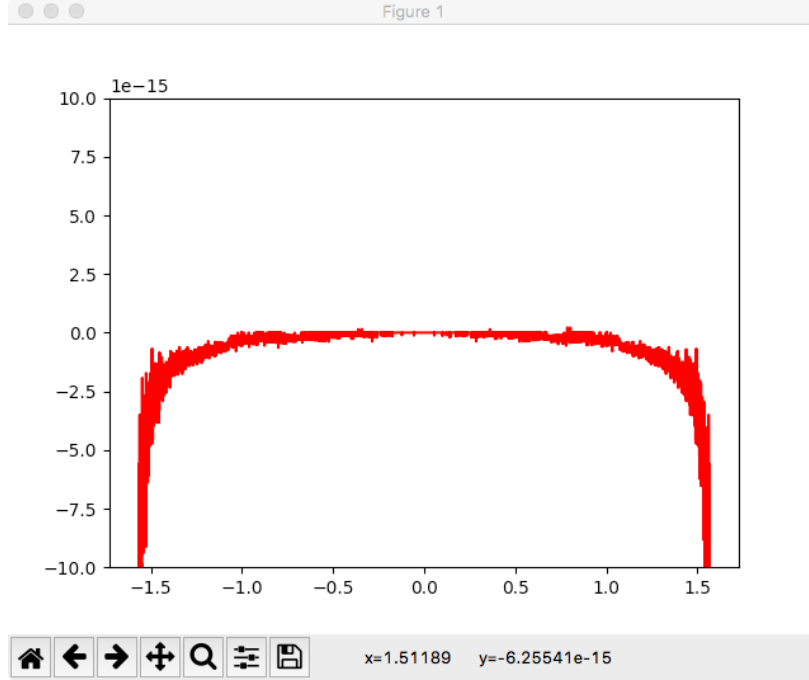


Figure 12: Ecart relatif tan

nanmax	5.703187457592536e-16
nanmin	0.0
nanmean	7.847212957757336e-17
nanstd	1.076145681302181e-16
nanvar	1.1580895273853351e-32

Figure 13: Résumé statistique sur  $-\pi/4$   $\pi/4$

## 5 Fonction arctan

### 5.1 Algorithme de CORDIC

Partant d'un vecteur  $2 \times 1$ , on calcule un nouveau vecteur en le multipliant avec la matrice de rotation initialisé avec un angle de 45 degrés :

$$v_{i+1} = R_i v_i \quad v_{i+1} = R_i v_i$$

avec :

$$R_i = \begin{pmatrix} \cos \gamma_i & -\sin \gamma_i \\ \sin \gamma_i & \cos \gamma_i \end{pmatrix}$$

$$v_{i+1} = R_i v_i = \cos \gamma_i \begin{pmatrix} 1 & -\sigma_i \tan \gamma_i \\ \sigma_i \tan \gamma_i & 1 \end{pmatrix} \begin{pmatrix} x_i \\ y_i \end{pmatrix}$$

Les rotations successives permettent de converger vers l'angle désiré.

On peut limiter le choix des angles de telle façon que  $1/\tan(\cdot)$  soit une puissance de 2. Dans notre cas, on stocke ces données.

$$v_{i+1} = R_i v_i = \cos(\arctan(2^{-i})) \begin{pmatrix} 1 & -\sigma_i 2^{-i} \\ \sigma_i 2^{-i} & 1 \end{pmatrix} \begin{pmatrix} x_i \\ y_i \end{pmatrix} = K_i \begin{pmatrix} x_i - \sigma_i 2^{-i} y_i \\ x_i \sigma_i 2^{-i} + y_i \end{pmatrix}$$

$$\text{avec } K_i = \cos(\arctan(2^{-i}))$$

$$\beta_{i+1} = \beta_i - \sigma_i \gamma_i. \quad \gamma_i = \arctan 2^{-i} \beta_{i+1} = \beta_i - \sigma_i \gamma_i. \quad \gamma_i = \arctan 2^{-i}$$

En étudiant le signe de la deuxième composante, on décide si l'on effectue une rotation horaire ou anti-horaire. Obtenir  $\arctan(a)$  en utilisant l'algorithme de cordic nécessite d'initialiser notre vecteur  $v_0$  à  $(1, a)$  et d'utiliser le triplet :

$$\begin{cases} x_{k+1} = x_k - \sigma_k y_k 2^{-k} \\ y_{k+1} = y_k + \sigma_k x_k 2^{-k} \\ z_{k+1} = z_k - \sigma_k \epsilon_k \end{cases}$$

Avec  $\epsilon_k$  nos arctan enregistrées. Nous renvoyons  $z$ .

## 5.2 Proposition d'approximation de la fonction arctan

En utilisant le résultat précédent on propose une approximation de la fonction arctan.

```
def cordit_arctan(a):
    nos_arctan = [0.7853981633974483, 0.4636476090008061, 0.24497866312686414, \
0.12435499454676144, 0.06241880999595735, 0.031239833430268277, 0.015623728620476831, \
0.007812341060101111, 0.0039062301319669718, 0.0019531225164788188, \
0.0009765621895593195, 0.0004882812111948983, 0.00024414062014936177, \
0.00012207031189367021, 6.103515617420877e-05, 3.0517578115526096e-05, \
1.5258789061315762e-05, 7.62939453110197e-06, 3.814697265606496e-06, \
1.907348632810187e-06, 9.536743164059608e-07, 4.7683715820308884e-07, \
2.3841857910155797e-07, 1.1920928955078068e-07, 5.960464477539055e-08, \
2.9802322387695303e-08, 1.4901161193847655e-08, 7.450580596923828e-09, \
3.725290298461914e-09, 1.862645149230957e-09, 9.313225746154785e-10, \
4.656612873077393e-10, 2.3283064365386963e-10, 1.1641532182693481e-10, \
5.820766091346741e-11, 2.9103830456733704e-11, 1.4551915228366852e-11, \
7.275957614183426e-12, 3.637978807091713e-12, 1.8189894035458565e-12]
    x, y, z = 1, a, 0
    t = 1;
    for i in range(len(nos_arctan)):
        x1 = 0
        if (y < 0):
            x1 = x - y*t
            y = y + x*t
            z = z - nos_arctan[i]
        else:
            x1 = x + y*t
            y = y - x*t
            z = z + nos_arctan[i]
        x = x1
        t /= 2
    return z
```

## 5.3 Etude de l'approximation proposée

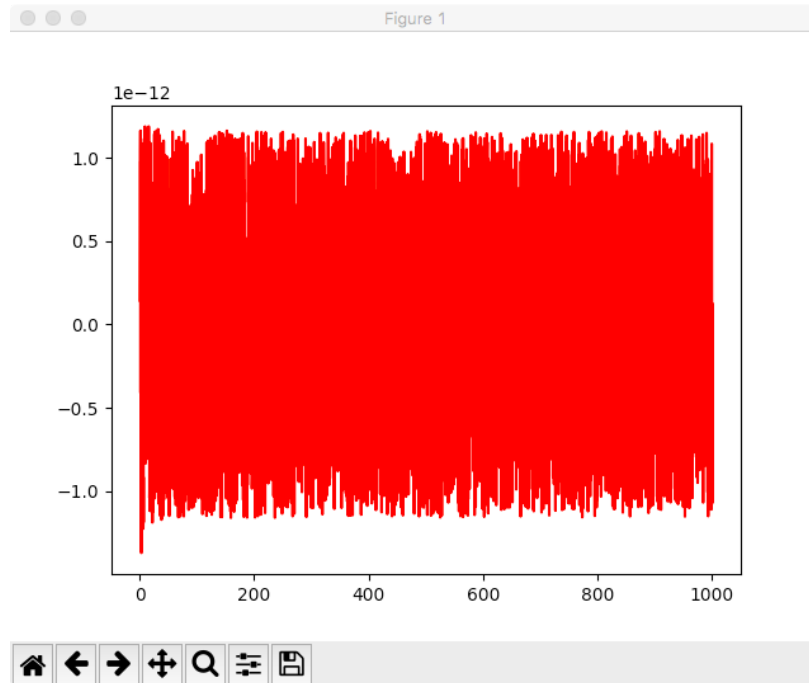


Figure 14: Ecart relatif arctan

nanmax	1.3700069980077967e-12
nanmin	2.8293021336720964e-16
nanmean	5.75558605593629e-13
nanstd	3.318803038385423e-13
nanvar	1.1014453607596315e-25

Figure 15: Résumé statistique

## 6 Fonction arcsin

### 6.1 Utilisation de arctan

Nous implementons arcsin en utilisant l'égalité  $\arcsin(x) = \arctan(x/\sqrt{1-x^2})$ , qui nécessite donc un algorithme de racine carré que nous nous proposons d'implémenter.

### 6.2 Approximation de racine carrée

Afin d'approcher la racine carrée, nous utilisons simplement la méthode de Newton, pour trouver les zéros d'une fonction.

$$x_{n+1} = x_n - \frac{f(x_n)}{f'(x_n)}$$

ce qui donne dans notre cas de figure :

$$x_{n+1} = \frac{1}{2}(x_n + \frac{a}{x_n})$$

Afin d'obtenir un algorithme rapide nous limitons le nombre d'itération à 1000, ce qui est amplement suffisant pour calculer des racines carrées très grandes.

Nous proposons l'implémentation suivante.

```
def ma_racine_caree(a):
    x = 1
    maximum_iteration = min(int(a)//100 if a > 1000 else 40,1000)
    for i in range(maximum_iteration):
        x = 1/2*(x+a/x)
    return x
```

### 6.3 Etude de l'approximation proposée : sqrt

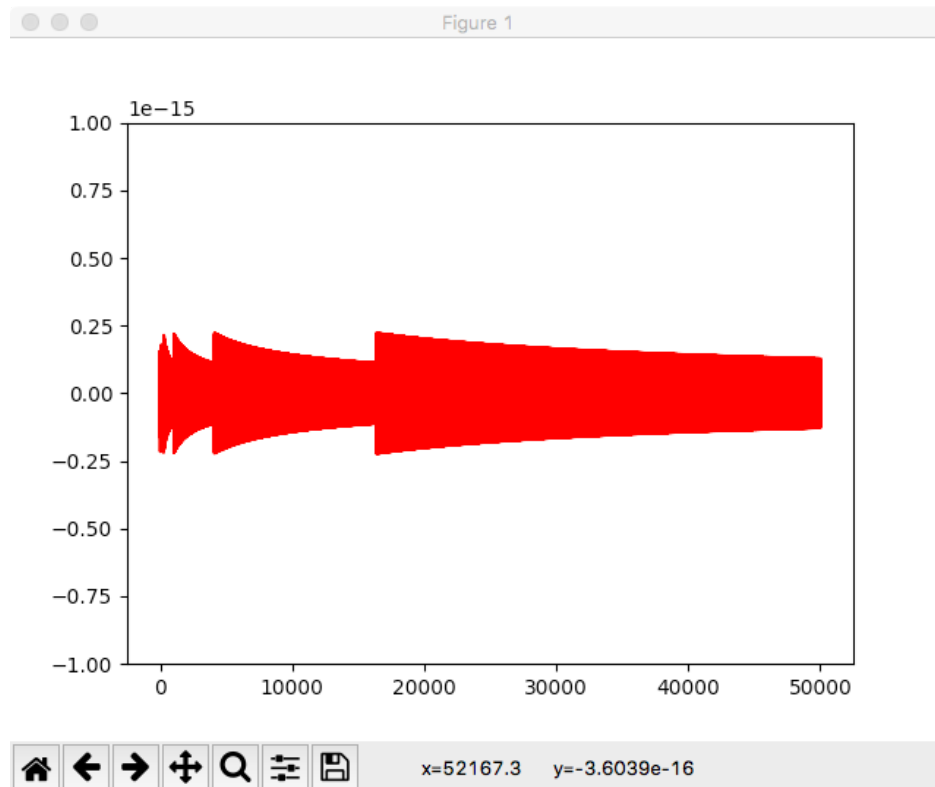


Figure 16: Ecart relatif racine carrée

nanmax	2.2135630626480553e-16
nanmin	0.0
nanmean	3.571197755392954e-17
nanstd	6.494591851406062e-17
nanvar	4.217972331635003e-33

Figure 17: Résumé statistique

## 6.4 Etude de l'approximation proposée : arcsin

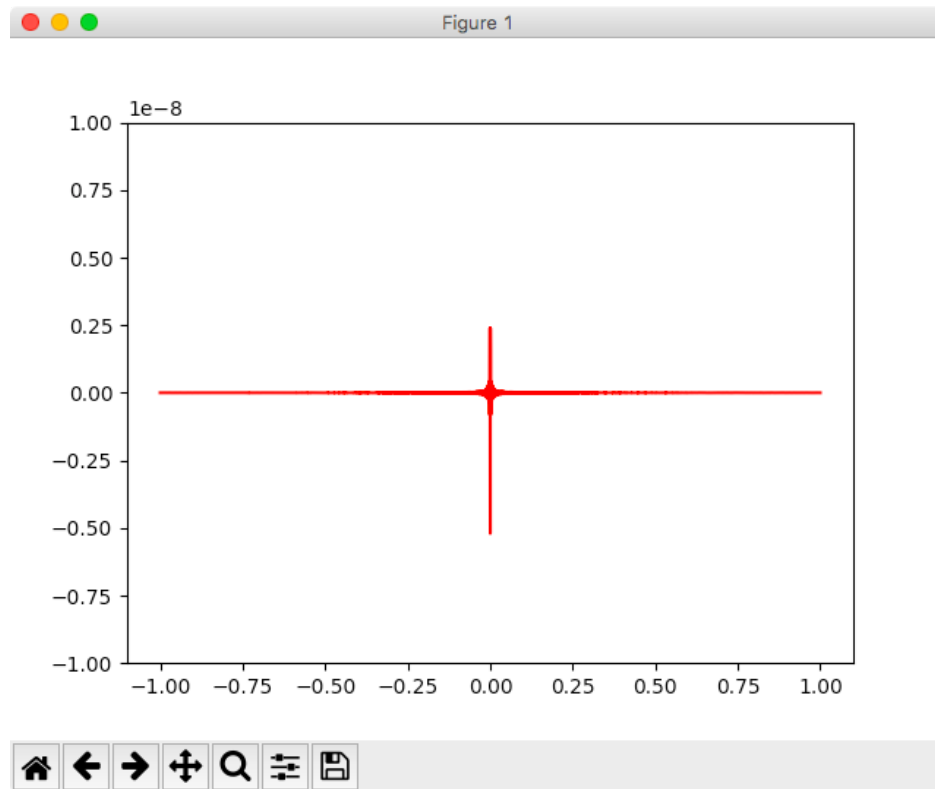


Figure 18: Ecart relatif arcsin

nanmax	5.203623314460027e-09
nanmin	5.799526106855611e-16
nanmean	9.785894575227016e-12
nanstd	1.213994110192895e-10
nanvar	1.4737816995830394e-20

Figure 19: Résumé statistique

## 7 Fonction arccos

### 7.1 Utilisation de arctan

Nous implementons arccos en utilisant l'égalité  $\arccos(x) = \arctan(\sqrt{1-x^2}/x)$  sur  $[0,1]$  et  $\arccos(x) = \pi + \arctan(\sqrt{1-x^2}/x)$  sur  $[-1,0]$ .

### 7.2 Etude de l'approximation proposée



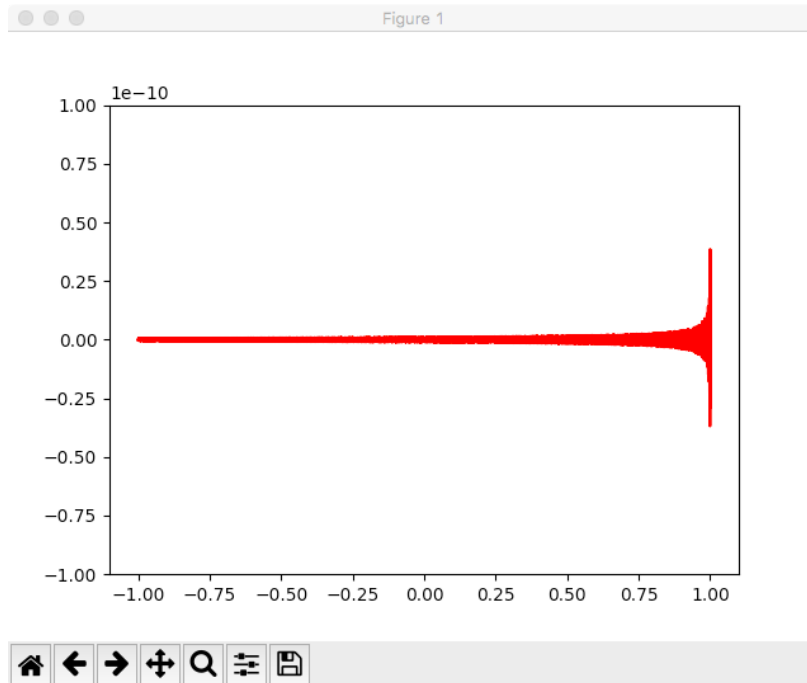


Figure 20: Ecart relatif arccos

## 8 Choix des fonctions

On choisit les fonctions présentant l'erreur relative la plus faible. Ainsi, on utilise les fonctions de Bessel pour cos et sinus. De même, on couple l'algorithme de Cordic avec l'algorithme de Newton pour sqrt pour obtenir les autres fonctions trigonométriques.

## 9 Résumé des erreurs

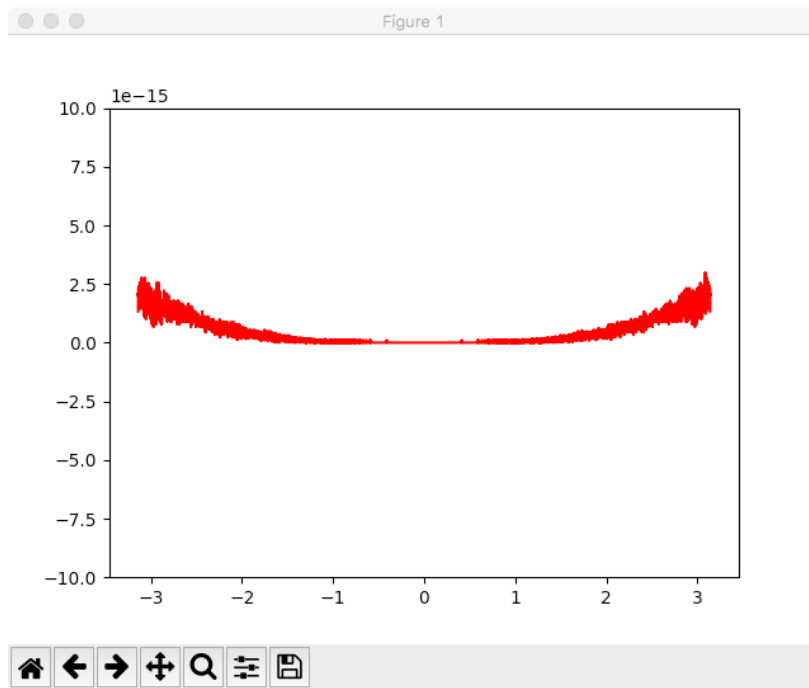


Figure 21: Erreur Cos

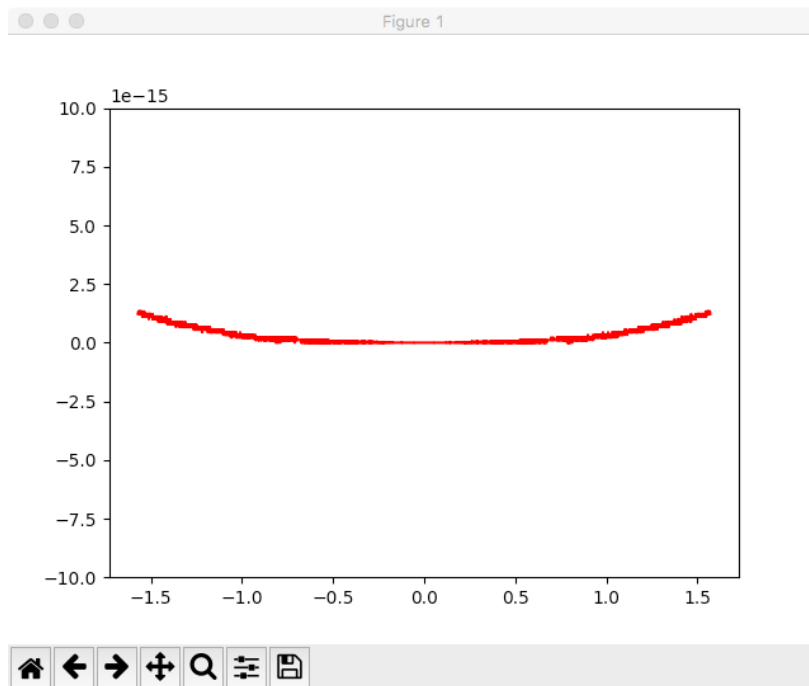


Figure 22: Erreur Sin

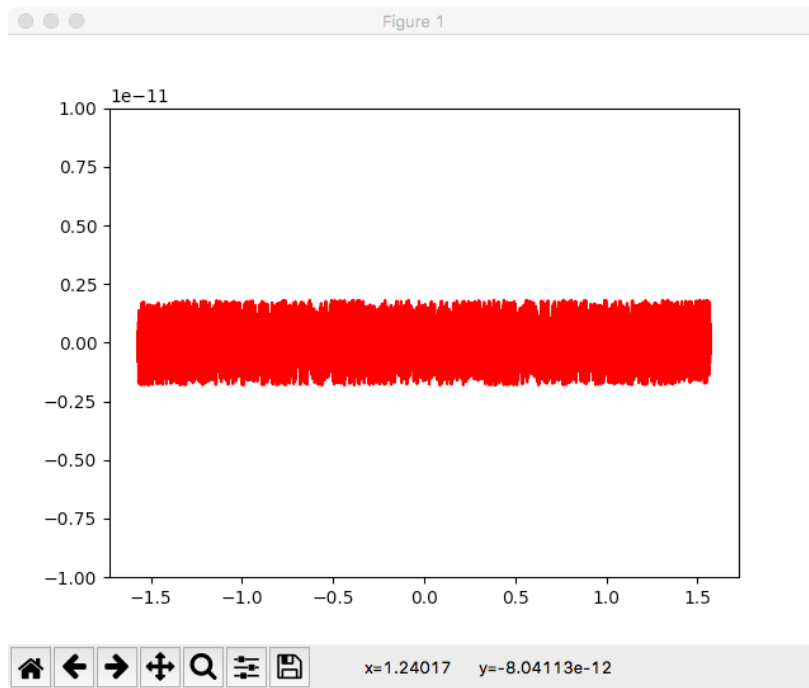


Figure 23: Erreur Arctan

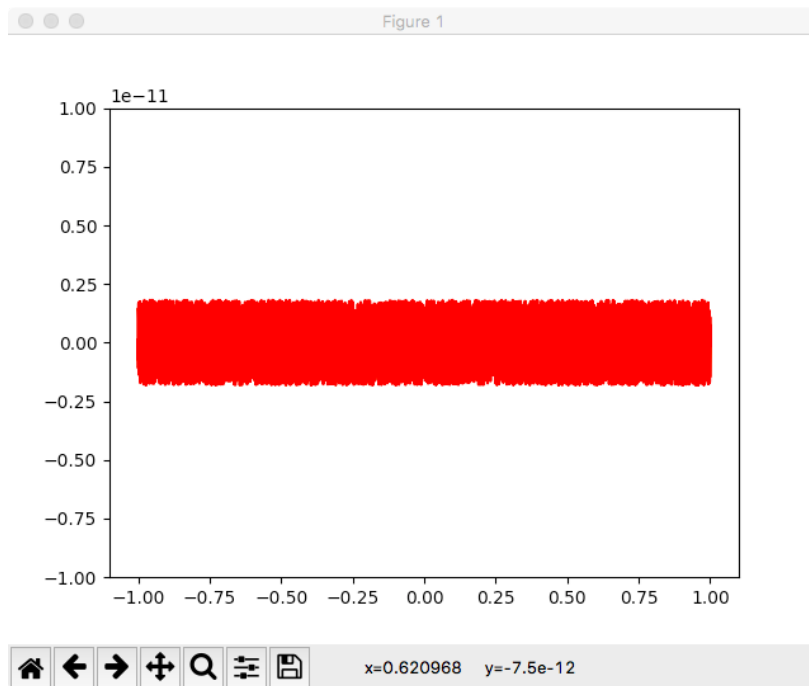


Figure 24: Erreur Arccos

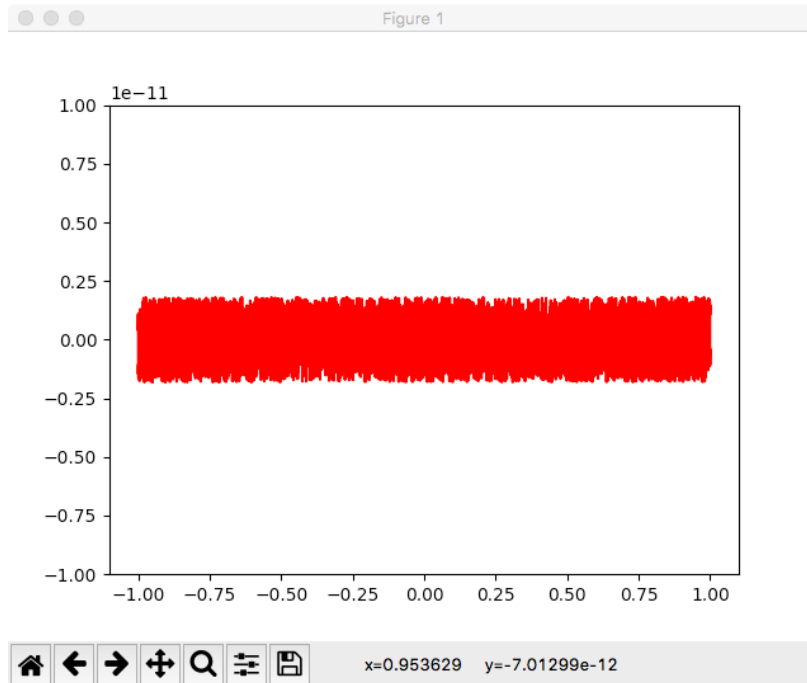


Figure 25: Erreur Arcsin

## 10 Fonction ULP

Pour l'instant la fonction ULP ne fonctionne que pour des flottant codés sur 32 bits c'est à dire avec 1 bit dédié à l'exposant, 8 pour l'exposant et 23 pour la mantisse suivant la norme IEE 754.

### 10.1 Norme IEE 754



Figure 26: représentation floatant

Une fois cette représentation comprise, on comprend bien qu'il est tout à fait possible de représenter tout les floatants représentables par la machine sur une droite des réels.

La fonction ulp apparait comme une évidence car lorsque qu'un réel est codé, il se trouve en fait dans un intervalle autour du floatant obtenu. On utilise alors la définition suivante de la fonction ULP: C'est la distance entre le prochain (ie: supérieur) floatant codable par la machine et le floatant codé par la machine.

## 10.2 ULP

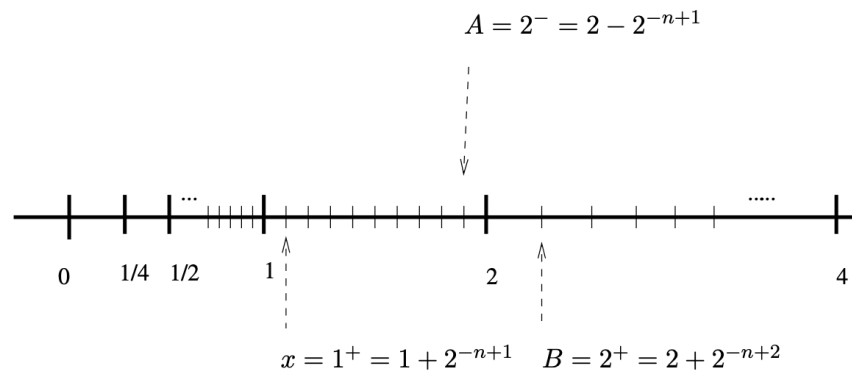


Figure 27: ULP

Pour utiliser la fonction `ulp`, il suffit de lancer le script `ulp.deca`, un appel de méthode sera nécessaire lorsque l'on aura implémenté les classes.

## 11 Bibliographie